

Approximation autosemblable du problème de Riemann. Systèmes hyperboliques non-conservatifs avec résonance

B. Boutin, F. Coquel, P.G. LeFloch



CEA Saclay
(DEN/DANS/DM2S/SFME/LETR)
&
UPMC Université Paris 6
Laboratoire J.-L. Lions



39e Congrès National d'Analyse Numérique

Saint Jean de Monts
26 - 30 mai 2008

Plan

- 1 Modélisation mathématique
- 2 Résultats d'existence
- 3 Exemple scalaire

Problème du couplage

Deux demi-problèmes en $w = w(x, t) \in \mathbb{R}^N$ posés sur $\mathbb{R}_x^\pm \times \mathbb{R}_t^+$ avec conditions aux limites, non-linéairement couplés en 0 :

$$\begin{array}{c} \boxed{\Gamma_-(w(0^-, t)) = \Gamma_+(w(0^+, t))} \\ \hline \begin{array}{cc} \partial_t w + \partial_x f_-(w) = 0 & | & \partial_t w + \partial_x f_+(w) = 0 \\ \hline & x = 0 & \end{array} \end{array}$$

Problème du couplage

Deux demi-problèmes en $w = w(x, t) \in \mathbb{R}^N$ posés sur $\mathbb{R}_x^\pm \times \mathbb{R}_t^+$ avec conditions aux limites, non-linéairement couplés en 0 :

$$\begin{array}{c}
 \boxed{\Gamma_-(w(0^-, t)) = \Gamma_+(w(0^+, t))} \\
 \hline
 \begin{array}{cc}
 \partial_t w + \partial_x f_-(w) = 0 & | & \partial_t w + \partial_x f_+(w) = 0 \\
 \hline
 & x = 0 &
 \end{array}
 \end{array}$$

Le couplage est compris au sens fort tant que l'interface n'est pas caractéristique, sinon

$$\begin{aligned}
 w(0^-, t) &\in \mathcal{O}_-(\Gamma_-^{-1} \circ \Gamma_+(w(0^+, t))) \\
 w(0^+, t) &\in \mathcal{O}_+(\Gamma_+^{-1} \circ \Gamma_-(w(0^-, t)))
 \end{aligned}$$

avec les ensembles de traces admissibles

$$\mathcal{O}_-(u_R) = \{W_-(0^-, u, u_R), u \in \Omega\} \text{ pour le problème de Riemann en } f_-,$$

$$\mathcal{O}_+(u_L) = \{W_+(0^+, u_L, u), u \in \Omega\} \text{ pour le problème de Riemann en } f_+.$$

Dubois-LeFloch, 1988 ; Godlewski-Le Thanh-Raviart, 2005.

Problème du couplage

Deux demi-problèmes en $w = w(x, t) \in \mathbb{R}^N$ posés sur $\mathbb{R}_x^\pm \times \mathbb{R}_t^+$ avec conditions aux limites, non-linéairement couplés en 0 :

$$\begin{array}{c}
 \boxed{\Gamma_-(w(0^-, t)) = \Gamma_+(w(0^+, t))} \\
 \hline
 \begin{array}{|c|c|}
 \hline
 \partial_t w + \partial_x f_-(w) = 0 & \partial_t w + \partial_x f_+(w) = 0 \\
 \hline
 \end{array} \\
 x = 0
 \end{array}$$

Le couplage est compris au sens fort tant que l'interface n'est pas caractéristique, sinon

$$\begin{aligned}
 w(0^-, t) &\in \mathcal{O}_-(\Gamma_-^{-1} \circ \Gamma_+(w(0^+, t))) \\
 w(0^+, t) &\in \mathcal{O}_+(\Gamma_+^{-1} \circ \Gamma_-(w(0^-, t)))
 \end{aligned}$$

avec les ensembles de traces admissibles

$$\begin{aligned}
 \mathcal{O}_-(u_R) &= \{W_-(0^-, u, u_R), u \in \Omega\} \text{ pour le problème de Riemann en } f_-, \\
 \mathcal{O}_+(u_L) &= \{W_+(0^+, u_L, u), u \in \Omega\} \text{ pour le problème de Riemann en } f_+.
 \end{aligned}$$

Dubois-LeFloch, 1988 ; Godlewski-Le Thanh-Raviart, 2005.

Motivation

Comprendre ces conditions de couplages lorsque l'interface est caractéristique.
Qu'en est-il de l'existence/unicité des solutions ?

Un système non-conservatif avec résonance

- **Changement de variable** $u = \Gamma_{\pm}(w)$, $\pm x > 0$: " $u(0^-, t) = u(0^+, t)$ ".

Un système non-conservatif avec résonance

- **Changement de variable** $u = \Gamma_{\pm}(w)$, $\pm x > 0$: " $u(0^-, t) = u(0^+, t)$ ".
- **Extension** à un problème défini sur $\mathbb{R}_x \times \mathbb{R}_t^+$ **entier** via l'**introduction d'une variable supplémentaire** $v \in [-1, 1]$ déterminant le modèle en considération.

Un système non-conservatif avec résonance

- **Changement de variable** $u = \Gamma_{\pm}(w)$, $\pm x > 0$: " $u(0^-, t) = u(0^+, t)$ ".
- **Extension** à un problème défini sur $\mathbb{R}_x \times \mathbb{R}_t^+$ **entier** via l'**introduction d'une variable supplémentaire** $v \in [-1, 1]$ déterminant le modèle en considération.

$$\begin{aligned} A_0(u, v)\partial_t u + A_1(u, v)\partial_x u &= 0 \\ \partial_t v &= 0 \end{aligned} \quad , x \in \mathbb{R}, t > 0.$$

$$\text{avec } v(x, 0) = \pm 1, \quad \pm x > 0$$

Consistance de A_0 , A_1 avec le couplage considéré :

$$A_0(u, \pm 1) = \nabla \Gamma_{\pm}^{-1}(u)$$

$$A_1(u, \pm 1) = \nabla f_{\pm}(\Gamma_{\pm}^{-1}(u)) \nabla \Gamma_{\pm}^{-1}(u)$$

$$A_0^{-1} A_1(u, v) \text{ } \mathbb{R}\text{-diagonalisable}$$

Un système non-conservatif avec résonance

- **Changement de variable** $u = \Gamma_{\pm}(w)$, $\pm x > 0$: " $u(0^-, t) = u(0^+, t)$ ".
- **Extension** à un problème défini sur $\mathbb{R}_x \times \mathbb{R}_t^+$ **entier** via l'**introduction d'une variable supplémentaire** $v \in [-1, 1]$ déterminant le modèle en considération.

$$\begin{aligned} A_0(u, v) \partial_t u + A_1(u, v) \partial_x u &= 0 \\ \partial_t v &= 0 \end{aligned} \quad , x \in \mathbb{R}, t > 0.$$

$$\text{avec } v(x, 0) = \pm 1, \quad \pm x > 0$$

Consistance de A_0 , A_1 avec le couplage considéré :

$$\begin{aligned} A_0(u, \pm 1) &= \nabla \Gamma_{\pm}^{-1}(u) \\ A_1(u, \pm 1) &= \nabla f_{\pm}(\Gamma_{\pm}^{-1}(u)) \nabla \Gamma_{\pm}^{-1}(u) \\ A_0^{-1} A_1(u, v) &\mathbb{R}\text{-diagonalisable} \end{aligned}$$

Difficulté

Le système hyperbolique de taille N en la variable u est strictement hyperbolique (à coefficients discontinus).

Cependant, le système hyperbolique $N+1$ en (u, v) est seulement **faiblement hyperbolique** : 0 est valeur propre associée à v alors qu'une valeur propre de $A_0^{-1} A_1$ peut déjà s'annuler : **résonance**.

Résonance : Isaacson-Temple, 1992 ; Goatin-LeFloch, 2004

Régularisation visqueuse par Dafermos

L'Ansatz de Dafermos

Approcher l'équation hyperbolique non-linéaire d'inconnue $u \in \mathbb{R}^n$:

$$\partial_t u + A(u) \partial_x u = 0$$

par l'approximation parabolique :

$$\partial_t u^\epsilon + A(u^\epsilon) \partial_x u^\epsilon = \epsilon t \partial_x (B(u^\epsilon) \partial_x u^\epsilon)$$

Régularisation visqueuse par Dafermos

L'Ansatz de Dafermos

Approcher l'équation hyperbolique non-linéaire d'inconnue $u \in \mathbb{R}^n$:

$$\partial_t u + A(u) \partial_x u = 0$$

par l'approximation parabolique :

$$\partial_t u^\epsilon + A(u^\epsilon) \partial_x u^\epsilon = \epsilon t \partial_x (B(u^\epsilon) \partial_x u^\epsilon)$$

Justification :

$$\partial_t u^\epsilon + A(u^\epsilon) \partial_x u^\epsilon = \partial_x (B(u^\epsilon) \partial_x u^\epsilon)$$

devient après changement de variable : $\xi = x/t$, $T = \ln t$, $u \rightarrow \tilde{u}$

$$\partial_T \tilde{u} + (-\xi Id + A(\tilde{u})) \partial_\xi \tilde{u} = e^{-T} \partial_\xi (B(\tilde{u}) \partial_\xi \tilde{u})$$

Régularisation visqueuse par Dafermos

L'Ansatz de Dafermos

Approcher l'équation hyperbolique non-linéaire d'inconnue $u \in \mathbb{R}^n$:

$$\partial_t u + A(u) \partial_x u = 0$$

par l'approximation parabolique :

$$\partial_t u^\epsilon + A(u^\epsilon) \partial_x u^\epsilon = \epsilon t \partial_x (B(u^\epsilon) \partial_x u^\epsilon)$$

Justification :

$$\partial_t u^\epsilon + A(u^\epsilon) \partial_x u^\epsilon = \partial_x (B(u^\epsilon) \partial_x u^\epsilon)$$

devient après changement de variable : $\xi = x/t$, $T = \ln t$, $u \rightarrow \tilde{u}$

$$\partial_T \tilde{u} + (-\xi Id + A(\tilde{u})) \partial_\xi \tilde{u} = \epsilon \partial_\xi (B(\tilde{u}) \partial_\xi \tilde{u})$$

Régime asymptotique en temps grand.

(C. Dafermos, 1973)

Équations étudiées

Recherche des solutions autosemblables $u = u(x/t) = u(\xi)$ du système

$$\begin{aligned} (-\xi A_0(u^\epsilon, v^\epsilon) + A_1(u^\epsilon, v^\epsilon)) d_\xi u^\epsilon &= \epsilon d_\xi (B(u^\epsilon, v^\epsilon) d_\xi u^\epsilon) \\ -\xi d_\xi v^\epsilon &= \epsilon^p d_{\xi\xi} v^\epsilon \end{aligned}$$

sous les hypothèses de proximité

$$\begin{aligned} A_0(u, v) &\simeq Id, \quad (\text{i.e. } \Gamma_- \simeq \Gamma_+), \\ B(u, v) &\simeq Id, \\ A_0^{-1} A_1(u, v) &\mathbb{R}\text{-diagonalisable.} \end{aligned}$$

avec des conditions aux limites

$$\begin{aligned} u^\epsilon(-\infty) &= u_L, & u^\epsilon(+\infty) &= u_R, \\ v^\epsilon(-\infty) &= -1, & v^\epsilon(+\infty) &= +1, \end{aligned}$$

Remarque :

Le modèle original f_\pm, Γ_\pm a été enrichi par l'introduction de A_0, A_1, B et du paramètre p (contrôle de la compétition entre les effets visqueux et les effets du couplage).

Résultats

$$\begin{aligned} (-\xi A_0(u^\epsilon, v^\epsilon) + A_1(u^\epsilon, v^\epsilon)) d_\xi u^\epsilon &= \epsilon d_\xi (B(u^\epsilon, v^\epsilon) d_\xi u^\epsilon) \\ -\xi d_\xi v^\epsilon &= \epsilon^p d_{\xi\xi} v^\epsilon \end{aligned}$$

"Théorème"

Pour des modèles f_-, f_+ suffisamment proches,
 Pour des données initiales u_L, u_R suffisamment proches,

- existence de solution u^ϵ à ϵ donné
- existence d'une limite u lorsque $\epsilon \rightarrow 0$,
- w solution entropique du problème initial sur chaque demi-espace

Principe de démonstration :

Tzavaras, 1996 ; Joseph-LeFloch, 2002, 2005

- recherche de $d_\xi u^\epsilon$ comme décomposition implicite sur une base de vecteurs propres adaptée au problème
 - estimation de coefficients d'interactions entre les ondes décrivant la solution, et des coefficients d'interactions avec l'**onde de couplage** $d_\xi v^\epsilon$ permettant
- l'utilisation de **théorèmes de point fixe**. [▶ detail](#)
- formulation faible et argument TVB sur u^ϵ .

Résultats

$$\begin{aligned} (-\xi A_0(u^\epsilon, v^\epsilon) + A_1(u^\epsilon, v^\epsilon)) d_\xi u^\epsilon &= \epsilon d_\xi (B(u^\epsilon, v^\epsilon) d_\xi u^\epsilon) \\ -\xi d_\xi v^\epsilon &= \epsilon^p d_{\xi\xi} v^\epsilon \end{aligned}$$

"Théorème"

Pour des modèles f_-, f_+ suffisamment proches,
 Pour des données initiales u_L, u_R suffisamment proches,

- existence de solution u^ϵ à ϵ donné
- existence d'une limite u lorsque $\epsilon \rightarrow 0$,
- w solution entropique du problème initial sur chaque demi-espace

Principe de démonstration :

Tzavaras, 1996 ; Joseph-LeFloch, 2002, 2005

- recherche de $d_\xi u^\epsilon$ comme décomposition implicite sur une base de vecteurs propres adaptée au problème
 - estimation de coefficients d'interactions entre les ondes décrivant la solution, et des coefficients d'interactions avec l'**onde de couplage** $d_\xi v^\epsilon$ permettant
- l'utilisation de **théorèmes de point fixe**. [▶ detail](#)
- formulation faible et argument TVB sur u^ϵ .

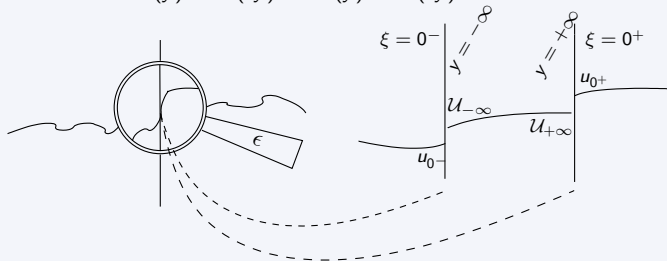
Que s'est-il passé à l'interface ?

Couche limite

Méthode de blow-up :

Changement d'échelle $y = \xi/\epsilon$ destiné à garder la trace du profil à l'interface en convergence $\epsilon \rightarrow 0$.

Nouvelles variables : $\mathcal{U}^\epsilon(y) = u^\epsilon(\epsilon y)$ et $\mathcal{V}^\epsilon(y) = v^\epsilon(\epsilon y)$.



La relation de couplage est obtenue comme un lien algébrique successivement entre

- $u(0^-)$ et $\mathcal{U}(-\infty)$,
- $\mathcal{U}(-\infty)$ et $\mathcal{U}(+\infty)$,
- $\mathcal{U}(+\infty)$ et $u(0^+)$.

Couche limite dans le cas scalaire

Modèle :

$$A_0(u, \nu) = 1, \text{ i.e. } \Gamma_- = \Gamma_+$$

$$A_1(u, \nu) = \frac{1-\nu}{2} f'_-(u) + \frac{1+\nu}{2} f'_+(u),$$

$$B = 1,$$

$$p = 2.$$

Couche limite dans le cas scalaire

Modèle :

$$A_0(u, \nu) = 1, \text{ i.e. } \Gamma_- = \Gamma_+$$

$$A_1(u, \nu) = \frac{1-\nu}{2} f'_-(u) + \frac{1+\nu}{2} f'_+(u),$$

$$B = 1,$$

$$p = 2.$$

À l'interface, le couplage est obtenu asymptotiquement comme la juxtaposition de :

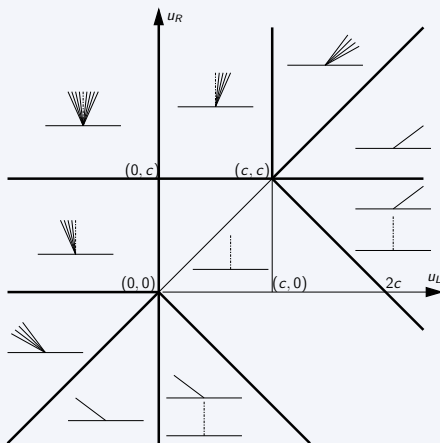
- un choc stationnaire pour le modèle gauche $f_- : f_-(\mathcal{U}_{-\infty}) = f_-(u(0^-))$,
- un profil de couche limite \mathcal{U} , solution de $A_1(\mathcal{U}, \nu) d_y \mathcal{U} = d_y (B(\mathcal{U}, \nu) d_y \mathcal{U})$, avec $\mathcal{V}(y) = \text{erf}(y/\sqrt{2})$,
- un choc stationnaire pour le modèle droit $f_+ : f_+(u(0^+)) = f_+(\mathcal{U}_{+\infty})$,

chacun vérifiant des conditions d'entropies héritées de la viscosité positive B .

Dans la suite on considère les flux quadratiques $f_-(u) = u^2/2$, et $f_+(u) = (u - c)^2/2$.

Exemple du cas scalaire

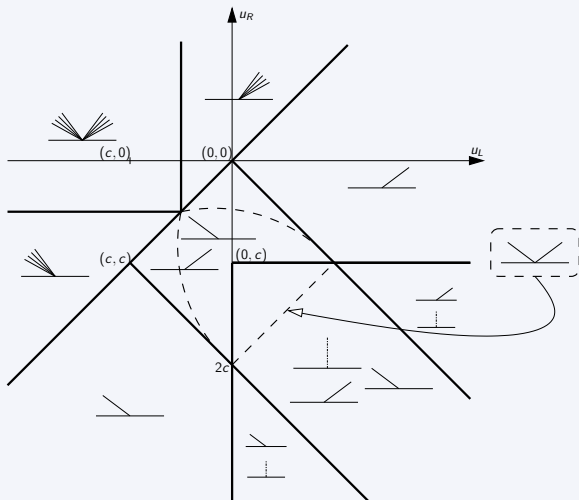
Classification des solutions possibles dans le plan des données Riemann (u_L, u_R) :
lorsque $c > 0$



2 secteurs résonants sans unicité.

Exemple du cas scalaire

Classification des solutions possibles dans le plan des données Riemann (u_L, u_R) :
lorsque $c < 0$



6 secteurs résonants sans unicité,
jusqu'à 4 solutions possibles.

Prospection numérique

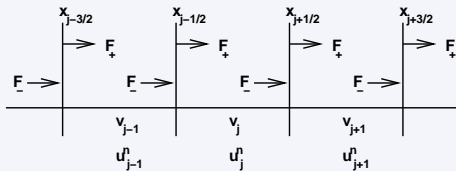
Schéma numérique inspiré du schéma à deux flux d'Engquist-Osher

$$u_j^{n+1} = u_j^n - \frac{\Delta t^n}{\Delta x} (\mathcal{F}_+(u_j^n, u_{j+1}^n; v_j) - \mathcal{F}_+(u_{j-1}^n, u_j^n; v_j))$$

$$\text{avec } \mathcal{F}(r, s; v) = \frac{1}{2} \left(F_v(r) + F_v(s) - \int_r^s |F'_v(t)| dt \right)$$

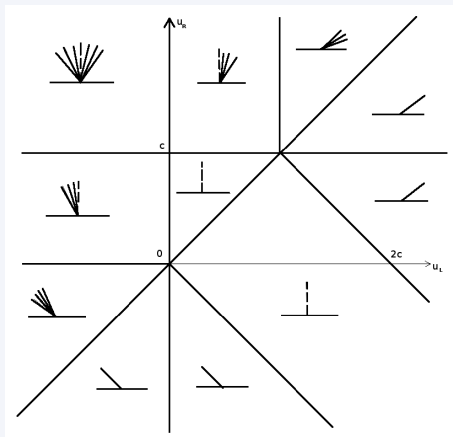
$$F_v(u) = \frac{1-v}{2} f_-(u) + \frac{1+v}{2} f_+(u)$$

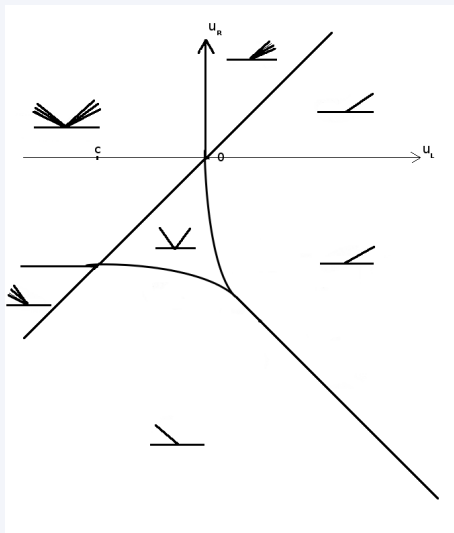
Δt^n satisfait une CFL standard.

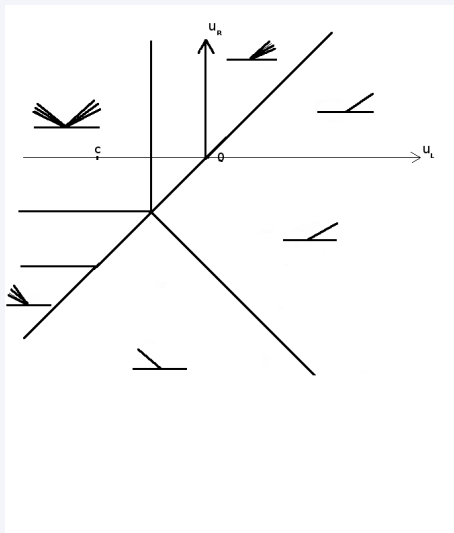


Les simulations effectuées sont de deux types :

- Interface mince : $v = \text{Heavyside}$
- Interface épaisse : $v = \text{régularisée}$

Solution numérique, $c > 0$ interface mince ou épaisse

Solution numérique, $c < 0$ interface mince

Solution numérique, $c < 0$ interface épaisse

Conclusions et perspectives

- l'existence de solutions autosemblables du système de couplage est obtenue,
- les tests numériques illustrent la possible instabilité de certaines solutions théoriquement admissibles,
- ainsi que la sensibilité du couplage à la modélisation de l'interface dans les cas résonants
- l'analyse de l'interface reste à réaliser dans le cas général,
- étude mathématique et numérique de la stabilité des solutions ainsi obtenues,

B.Boutin, F.Coquel, P.G.LeFloch, *Self-similar approximation to the Riemann problem for coupled hyperbolic systems*, en préparation.

Grandes lignes de la démonstration d'existence

$$(-\xi \text{ Id} + A(u^\epsilon, v^\epsilon)) d_\xi u^\epsilon = \epsilon d_\xi (B(u^\epsilon, v^\epsilon) d_\xi u^\epsilon)$$

Base de vecteurs propres $\widehat{r}_j(u, v, \xi)$ adaptés au problème :

$$(-\xi \text{ Id} + A(u, v)) \widehat{r}_j(u, v, \xi) = \mu_j(u, v, \xi) B(u, v) \widehat{r}_j(u, v, \xi),$$

$$\widehat{l}_j(u, v, \xi) (-\xi \text{ Id} + A(u, v)) = \mu_j(u, v, \xi) \widehat{l}_j(u, v, \xi) B(u, v).$$

Formule de représentation implicite :

$$d_\xi u^\epsilon = \sum_j a_j^\epsilon(\cdot) \widehat{r}_j(u^\epsilon, v^\epsilon, \cdot)$$

Grandes lignes de la démonstration d'existence

$$(-\xi \text{ Id} + A(u^\epsilon, v^\epsilon)) d_\xi u^\epsilon = \epsilon d_\xi (B(u^\epsilon, v^\epsilon) d_\xi u^\epsilon)$$

Base de vecteurs propres $\widehat{r}_j(u, v, \xi)$ adaptés au problème :

$$\begin{aligned} (-\xi \text{ Id} + A(u, v)) \widehat{r}_j(u, v, \xi) &= \mu_j(u, v, \xi) B(u, v) \widehat{r}_j(u, v, \xi), \\ \widehat{l}_j(u, v, \xi) (-\xi \text{ Id} + A(u, v)) &= \mu_j(u, v, \xi) \widehat{l}_j(u, v, \xi) B(u, v). \end{aligned}$$

Formule de représentation implicite :

$$d_\xi u^\epsilon = \sum_j a_j^\epsilon(\cdot) \widehat{r}_j(u^\epsilon, v^\epsilon, \cdot)$$

$$a_i' - \frac{\mu_i(u^\epsilon, v^\epsilon, \cdot)}{\epsilon} a_i = L_i(u^\epsilon, v^\epsilon, \cdot) + Q_i(u^\epsilon, v^\epsilon, \cdot) + S_i(u^\epsilon, v^\epsilon, \cdot).$$

$$L_i(u^\epsilon, v^\epsilon, \cdot) := \sum_j \pi_{ij}(u^\epsilon, v^\epsilon, \cdot) a_j,$$

$$Q_i(u^\epsilon, v^\epsilon, \cdot) := \sum_{j,k} \kappa_{ijk}(u^\epsilon, v^\epsilon, \cdot) a_j a_k,$$

$$S_i(u^\epsilon, v^\epsilon, \cdot) := \sum_j \sigma_{ij}(u^\epsilon, v^\epsilon, \cdot) a_j \psi, \text{ avec } \psi = d_\xi v^\epsilon.$$

Structure générale

On construit a_i^ϵ comme essentiellement solution de la partie principale (découplée) de l'équation précédente :

$$y' - \frac{\mu_i(u^\epsilon, v^\epsilon, \cdot)}{\epsilon} y = 0 \quad \rightarrow \quad \text{solution } \varphi_i^* \text{ t.q. } \|\varphi_i^*\|_1 = 1.$$

à $\tau \in \mathbb{R}^N$ donné suffisamment petit, recherche d'une correction θ t.q. $(a_i^\epsilon)_{1 \leq i \leq N}$:

$$a_i^\epsilon = \tau_i \varphi_i^* + \theta_i, \text{ avec } \|\theta\| \leq |\tau|^2 + \nu|\tau|.$$

soit solution du système précédent.

Pour cela, on obtient $(\theta_i)_{1 \leq i \leq N}$ comme point fixe d'une application $T : \theta \mapsto T_k(\theta)$ définie par

$$\begin{aligned} T_k(\theta)(\xi) = & \varphi_k^*(\xi) \int_{c_k}^\xi \frac{1}{\varphi_k^*(x)} \sum_i \pi_{ik}(x) (\tau_i \varphi_i^*(x) + \theta_i(x)) dx \\ & + \varphi_k^*(\xi) \int_{c_k}^\xi \frac{1}{\varphi_k^*(x)} \sum_{ij} \kappa_{ijk}(x) (\tau_i \varphi_i^*(x) + \theta_i(x)) (\tau_j \varphi_j^*(x) + \theta_j(x)) dx \\ & + \varphi_k^*(\xi) \int_{c_k}^\xi \frac{1}{\varphi_k^*(x)} \sum_i \sigma_{ik}(x) (\tau_i \varphi_i^*(x) + \theta_i(x)) \psi(x) dx \end{aligned}$$

Travaux antérieurs (Tzavaras, 1996 ; Joseph-LeFloch, 2002, 2005)

L'hypothèse de stricte hyperbolicité équivaut ici à ce que les supports des φ_i^* soient "bien séparés". Il en découle :

Coefficients binaires : influence de l'onde j sur l'onde i

$$J_{j \rightarrow i}(\xi) := \varphi_i^*(\xi) \int_{c_i}^{\xi} \frac{\varphi_j^*}{\varphi_i^*} dx$$

$$|J_{j \rightarrow i}(\xi)| \leq \begin{cases} O(\epsilon) (\varphi_i^*(\xi) + \varphi_j^*(\xi)), & i \neq j, \\ 2L \varphi_i^*(\xi), & i = j. \end{cases}$$

Coefficients ternaires : influence de l'interaction $j + k$ sur l'onde i

$$F_{jk \rightarrow i}(\xi) := \varphi_i^*(\xi) \int_{c_i}^{\xi} \frac{\varphi_j^* \varphi_k^*}{\varphi_i^*} dx$$

$$|F_{jk \rightarrow i}(\xi)| \leq C (\varphi_i^*(\xi) + \varphi_j^*(\xi) + \varphi_k^*(\xi)).$$

Le deuxième résultat étant obtenu comme conséquence du premier, via l'inégalité $2|ab| \leq (a^2 + b^2)$ et une estimation L^∞ .

Nouveauté

Onde de couplage $\psi = d_\xi v^\epsilon$

$$J_{i \rightarrow j}^\psi(\xi) := \varphi_j^*(\xi) \int_{c_j}^\xi \psi(x) \frac{\varphi_i^*(x)}{\varphi_j^*(x)} dx.$$

On ne voit pas ce coefficient comme une mesure de l'influence des ondes φ_i^* et ψ sur l'onde φ_j^* mais plutôt comme une mesure de l'influence de l'onde i sur l'onde j au travers du couplage décrit par l'onde ψ .

Difficulté : le support de l'onde ψ et de l'onde résonante φ_m^* contiennent tous deux 0 et ne sont pas séparés. Cependant on obtient :

Coefficient d'interaction binaire résonante

Soit $\psi \in L^1$ et $i \neq j$, alors

$$\left| J_{i \rightarrow j}^\psi(\xi) \right| \leq O(1) \|\psi\|_1 \left(\varphi_i^*(\xi) + \varphi_j^*(\xi) \right), \quad \epsilon > 0.$$

Tout cela permet de conclure au résultat d'existence de u^ϵ et de sa limite.

[▶ retour](#)